

東京工業大学 正 谷部 正彦
 " 正 日野 幹雄

1はじめに

著者等は、前回の報告で、降雨-流出系の非線型性は降雨の分離則の非線型に起因しているものとして、入力が平均降雨のまわりのGauss分布である場合について日流出量のスペクトルの説明を試みた。しかしながら、日降雨量に上記の仮定は不自然である。一般に水文量の頻度(確率)分布曲線は、非対称性を示すことが多いとされ、日単位の降雨量の確率分布も、一般的には指數分布、対数正規分布等が適用されており。本報告では、負の降雨を含めたGauss分布する仮想降雨があり、これが正値領域のフィルターを通すことにより、正規分布の一部であることを日単位の実測資料を用いて検討する。このシステムの概念図を図-1に示す。

2 日降雨量の確率分布特性

日降水量の確率分布を調べるために、神流川(S27~S35)の日降水量の実測資料によるヒストグラムを示す(刻み=2mm/day)(図-2)。この頻度図からでは、降雨量の確率分布は正規分布とみなしがちと思われる。

(a) 非線型伝達要素を通過した出力の確率分布特性

今、不規則信号 x_t として図1のように非線型伝達要素を通過した後の出力 y_t の確率分布を推定する。

$$y_t = \begin{cases} b \cdot x_t & (x_t \geq 0) \\ 0 & (x_t < 0) \end{cases} \quad \dots (1)$$

$x_t = z^t$, $b = \text{const}$. このよろづく非線型フィルターを通過して出力 y_t の確率分布関数は、(2)式である。

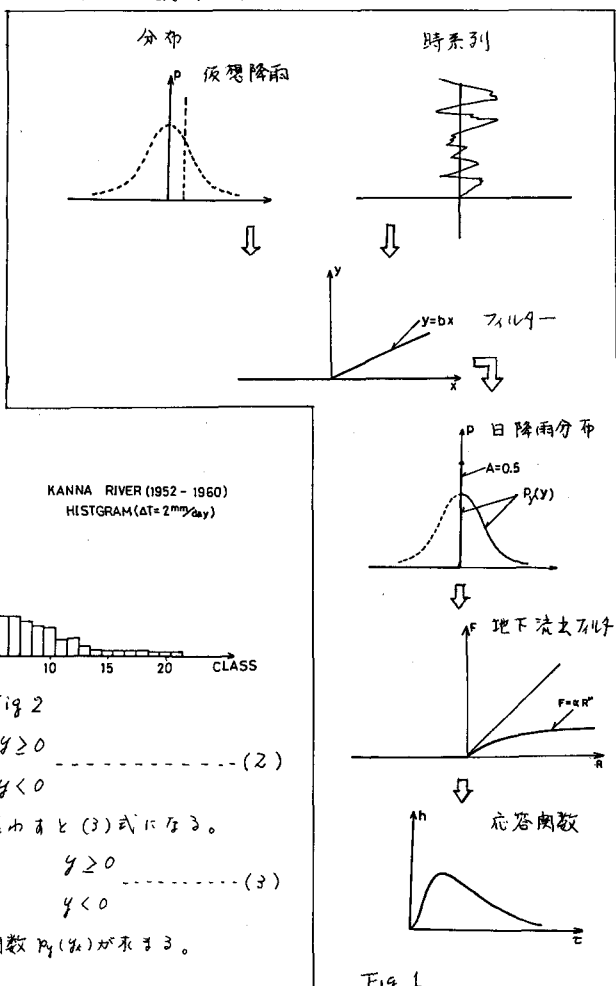
$$P(y_t \leq y) = \begin{cases} P(x_t \leq \frac{y}{b}) & y \geq 0 \\ 0 & y < 0 \end{cases} \quad \dots (2)$$

(2)式を入力の確率密度関数 $P_x(x_t)$ を用いて表わすと(3)式になる。

$$P(y_t \leq y) = \begin{cases} P(x_t < 0) + \int_0^{y/b} P_x(x_t) dx_t & y \geq 0 \\ 0 & y < 0 \end{cases} \quad \dots (3)$$

(3)式を微分して微分すると出力の確率密度関数 $P_y(y_t)$ が得られる。

$$P_y(y_t) = P(x_t < 0) \delta(y_t) + \frac{1}{b} P_x(x_t = \frac{y_t}{b}) U(y_t) \quad \dots (4)$$



ここに、 $\delta(y_t)$ はデルタ関数、 $U(y_t)$ は unit step function である。また、入力での不規則信号の確率分布が正規分布

$$p_x(x_t) = \frac{1}{\sqrt{2\pi} \sigma_x} \exp\left(-\frac{x_t^2}{2\sigma_x^2}\right) \quad \dots \quad (5)$$

とすれば、 y の出力の確率密度函数は、(6)式 になる。

$$P_y(y_t) = \frac{1}{2} \delta(y_t) + \frac{\cup(y_t)}{\sqrt{2\pi} b \hat{\sigma}_z} \exp \left[-\frac{y_t^2}{2b^2 \hat{\sigma}_z^2} \right] \quad \dots \dots \dots \quad (6)$$

(6) 式の確率密度関数は、図 1 に示す。

(b) 実測河川への適用

神流川の日降雨で mm/day 以下の降雨は、図3に示すように有効降雨とは考えにくくとして降雨にする。このようにして実測データのヒストグラムを求めた。この日降雨量の確率分布は、正規分布の一部で近似できる。(図4) このことは、正規分布する正・負の降雨でも、仮想降雨が図1のような非線型フィルターを通過した出力(実日降雨量)の確率分布特性を表かしてはるものと推定される。

次に、流出スペクトルの説明は、降雨の非線型分離則である地下流出フィルター(図1)を通過し、分離後の降雨の自己相関係数を特異閾値法により計算し($\phi_{xx}(f)$)、 $\phi_{xx}(f)$ をフーリエ変換して地下水流去成分に寄与する降雨のスペクトル($S_{xx}(f)$)を求め、さらに地下水流出系(表面流水系)のシステム関数($H_2(f)$)から出力のスペクトル(流出量)を求めることによってなされる。

応答関数は システム関数をフーリエ変換して求まる。

$$h(\tau) = \frac{1}{2\pi} \int_{-\infty}^{\infty} H(w) e^{i w \tau} dw \quad \dots \dots \dots \quad (8)$$

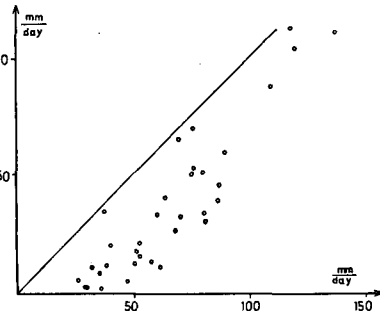


Fig. 3

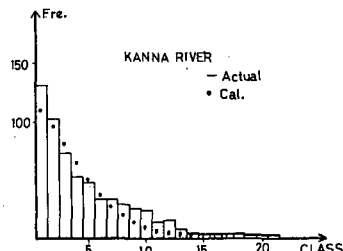


Fig. 4

あとがき

前回の報告では、入力が平均降雨のまわりにガウス分布していると仮定して、特性関数法を用いて流出スペクトルを説明した。実測の日降雨量資料を用いて、日降雨の確率特性を調べると、平均値のまわりにはGauss分布でないことは既述しにくい。そこで本報告では、負を含めた仮想降雨を入力と仮定し、非線型分離則を通過することにより、実測の日降雨量が正規分布の一部であることが検討された。今後は、実際の降雨の非線型分離則を推定して、その分離則を用いて、流出スペクトル（地下水流出、中間流出、表面流出成分）を推定し、降雨-流出系の流出機構を確立していく必要があると思われる。

参考文献

日野幹雄・長谷部正彦：特性関数法による非線型流体系の流速スペクトルの理論，第34回年講。

Davenport & Root : An Introduction to the theory of random signals and noise , International Student . edition .

Rice: 韻音理論, (宮脇一男訳) 電気書院.